



شبیه‌سازی اجزاء محدود فرآیند ذوب انتخابی با لیزر برای ساخت یک قطعه نمونه تحت شرایط تکیه‌گاهی مختلف

مهندی عین‌بیگی^۱, جواد شهبازی‌کرمی^۲, جمال ارغوانی‌هادی^{۳*}

۱- دانشجوی دکتری، مهندسی مکانیک، دانشگاه صنعتی شریف، تهران

۲- دانشجوی دکتری، مهندسی مکانیک، دانشگاه تربیت دیبر شهیدرجائی، تهران

۳- استادیار، مهندسی مکانیک، دانشگاه صنعتی شریف، تهران

* تهران، صندوق پستی ۱۱۱۵۵-۱۱۳۶۵، arghavani@sharif.edu

چکیده

روش‌های ساخت افزودنی یا چاپ سه‌بعدی به صورت روزافزون در ساخت قطعات سه‌بعدی موردنظر قرار گرفته‌اند و در سال‌های اخیر توجه ویژه‌ای به آن دسته از روش‌های شده است که با مواد فلزی کار می‌کنند. فرآیند ذوب انتخابی با لیزر یکی از روش‌های ساخت افزودنی در تولید قطعات فلزی محسوب می‌شود. این روش به صورت خاص برای تولید قطعات فلزی که نیاز است بیش از ۹۹% چگال باشند، توسعه داده شد. در این روش سطح لایه‌ی پودر فلزی توسط لیزر مطابق یک الگوی مشخص اسکن شده و در محل تاشه لیزر، یک حوضچه مذاب موضعی (انتخابی) شکل می‌گیرد که پس از انجام یک چگال را نتیجه می‌دهد. در این پژوهش شبیه‌سازی نیمه‌کوپل ترمومکانیکی فرآیند ذوب انتخابی با لیزر به روش اجزاء محدود در نرم‌افزار آباکوس انجام می‌شود. برای شبیه‌سازی شار متحرک لیزر و بروزرسانی خواص مادی، از پودر به چامد چگال، از قالبیت زیربرنامه‌نویسی در استفاده می‌شود. بررسی توزیع تنش‌های پسماند و اعوجاج قطعه ساخته شده به روش ذوب انتخابی با لیزر هدف اصلی از این شبیه‌سازی است. نتایج که برای دو شرط مرزی مکانیکی مختلف ارائه شده است، نشان می‌دهد هنگامی که کف لایه‌ی گیردار است سطح فوقانی لایه ساخته شده به صورت مغز تغییر شکل می‌دهد و برای حالی که وجود جانبی لایه دارای تکیه‌گاه‌های ساده باشد و سطح زیرین آن آزاد باشد، قطعه تاب برمی‌دارد.

اطلاعات مقاله

مقاله پژوهشی کامل

دریافت: ۲۴ دی ۱۳۹۵

پذیرش: ۱۴ اسفند ۱۳۹۵

ارائه در سایت: ۱۹ فروردین ۱۳۹۶

کلید واژگان:

ساخت افزودنی

فرآیند ذوب انتخابی با لیزر

شبیه‌سازی اجزاء محدود

شرایط تکیه‌گاهی

تشنج‌های پسماند حرارتی

Finite element simulation of selective laser melting process for fabrication of a sample part under various support conditions

Mehdi Eynbeygui¹, Javad Shahbazi Karami², Jamal Arghavani^{1*}

1- Department of Mechanical Engineering, Sharif University of Technology, Tehran, Iran.

2-Faculty of Mechanical Engineering, Shahid Rajaei Teacher Training University, Tehran, Iran

* P.O.B. 11365-11155 Tehran, Iran, arghavani@sharif.edu

ARTICLE INFORMATION

Original Research Paper

Received 13 January 2017

Accepted 04 March 2017

Available Online 08 April 2017

Keywords:

Additive manufacturing
Selective laser melting process
Finite element simulation
Support conditions
Thermal residual stresses

ABSTRACT

Additive manufacturing methods and/or 3D printing have become increasingly popular with particular emphasis on methods used for metallic materials. Selective Laser Melting (SLM) process is one of the additive manufacturing methods for production of metallic parts. The method was developed specifically to process metal parts that need to be more than 99 percent dense. In this method, according to a predefined pattern, the top surface of the powder layer is scanned by the laser and a local (selective) melt pool is produced in the place of the laser spot which results in a fully dense layer after solidification. In this study, a semi-coupled thermo-mechanical simulation of SLM process is carried out in ABAQUS finite element software. In order to simulate the moving heat flux and update material properties from the powder to the dense solid, the ability of the software for employing user-defined subroutines is used. Investigation of the residual stress distribution and distortion of a part built using SLM process are the main objectives of this simulation. Results presented for two different mechanical boundary conditions show that when the bottom face of the layer is clamped, the top face of the built layer deforms in a concave shape, while the lateral faces of the layer have simply-supported boundary conditions and the bottom face of the layer is free, the part is warped.

قطعه به صورت لایه‌لایه تکمیل می‌گردد و شکل نهایی قطعه ساخته می‌شود.

هر اندازه ضخامت لایه‌ها کوچک‌تر باشد، دقت ساخت قطعه و کیفیت سطح نهایی بهبود می‌یابد. تفاوت اصلی میان روش‌های مختلف ساخت به روش افزودنی در نوع مواد مورد استفاده، چگونگی ساخت لایه‌ها و نحوه اتصال آن‌ها به یکدیگر است. بسیاری از صاحب‌نظران از فناوری ساخت افزودنی به عنوان

ساخت افزودنی^۱ و یا آن‌چه از آن به تازگی به عنوان ساخت به وسیله چاپگرهای سه‌بعدی^۲ یاد می‌شود، نوعی روش ساخت است که در آن ساخت

¹ Additive Manufacturing (AM)
² 3D printing

۱- مقدمه

برای ارجاع به این مقاله از عبارت ذیل استفاده نمایید:

M. Eynbeygui, J. Shahbazi Karami, J. Arghavani, Finite element simulation of selective laser melting process for fabrication of a sample part under various support conditions, *Modares Mechanical Engineering*, Vol. 17, No. 4, pp. 143-153, 2017 (in Persian)

وجود می‌آید. تنش‌های پسماند سبب اعوجاج قطعه و شکل حوضچه مذاب، صافی سطح نهایی آن را تحت تأثیر قرار می‌دهند. با توجه به نکاتی که اشاره شد برسی رفتار ترمومکانیکی قطعه در فرآیند ذوب انتخابی با لیزر حائز اهمیت خواهد بود. مدل‌سازی این فرآیند با استفاده از روش‌های عددی چون اجزاء محدود می‌تواند درک روش‌تری از چگونگی رخداد پدیده‌های متأثر از انتقال حرارت فراهم کند.

دای و شا در سال 2002 میلادی [5]، شبیه‌سازی اعوجاج قطعه ساخته شده به روش هم‌جوشی انتخابی با لیزر^۴ را با استفاده از روش اجزاء محدود انجام دادند. آن‌ها در این پژوهش با در نظر گرفتن چند مسیر مختلف برای اسکن لیزر اثر این مورد را در تغییر شکل نهایی قطعه مربعی که نقاط گوشه‌ای آن مقید شده بود، برسی کردند. در توسعه این پژوهش آن‌ها در سال 2004 میلادی [6] اثرات هم‌جوشی با لیزر را برای ساخت قطعه‌ای که از دو ماده با جنس‌های مختلف تشکیل شده است موردنبررسی قراردادند. پانیل و پاداوا در سال 2007 میلادی [7] به شبیه‌سازی حرارتی فرآیند هم‌جوشی پودرهای فلزی و برسی اثر توزیع حرارت در اعوجاج قطعه نهایی پرداختند و نتایج خود را با برخی نتایج آزمایشگاهی موجود مقایسه کردند. آن‌ها در این پژوهش اثر پارامترهای متعددی توان لیزر، شعاع باریکه لیزر، مدت زمان خاموش و روشن شدن لیزر را بر توزیع حرارت در قطعه مورد مطالعه قراردادند. دانگ و همکاران در سال 2009 [8] یک مدل اجزاء محدود سبعدهی برای شبیه‌سازی حرارتی هم‌جوشی انتخابی با لیزر ارائه کردند. آن‌ها در این شبیه‌سازی با استفاده از خواص حرارتی وابسته به دما به برسی فرآیند تغییر فاز پودرهای پلی کربنات به جامد چگال پرداختند. رابت و همکاران در سال 2009 [9] شبیه‌سازی حرارتی فرآیند ذوب انتخابی با لیزر در مورد ساخت ۵ لایه از پودر فلز Ti-6Al-4V را با تکییف روش اجزاء محدود ارائه کردند. آن‌ها با استفاده از شیوه تولد و مرگ المان^۵ فرآیند فیزیکی لایه‌نگاری را شبیه‌سازی کردند. احمد حسین و همکاران در سال 2013 [10] شبیه‌سازی اجزاء محدود فرآیند ذوب انتخابی با لیزر را برای یک تک لایه از پودر فولاد ضدزنگ L316 انجام دادند. آن‌ها در این پژوهش برای حالتی که تک لایه مورد نظر هیچ‌گونه شرط مرزی مکانیکی ندارد به مطالعه تنش‌های حرارتی حاصل از گرادیان‌های دمایی وابسته به زمان پرداختند. فو و گواو در سال 2014 [11]، به برسی و شبیه‌سازی انتقال حرارت در فرآیند ذوب انتخابی با لیزر پرداختند. آن‌ها با استفاده از شبیه‌سازی اجزاء محدود شکل حوضچه مذاب در محل تابش لیزر روی پودر فلز را بررسی کردند و نحوه توزیع دما در مسیرهای مختلف روی قطعه را مورد مطالعه قراردادند. رفتار بارهای حرارتی سیکلی که به واسطه لایه‌گذاری و سپس اسکن مجدد لیزر ایجاد می‌شود را شبیه‌سازی کردند. از دیگر پژوهش‌هایی که به تازگی در راستای شناسایی فرآیند ذوب انتخابی با لیزر انجام شده است، می‌توان به پژوهش فاطمی و زمانی‌اشنی [12] اشاره کرد که به صورت تحریبی تغییرات خواص حرارتی پودر فلز نسبت به چگالی نسبی آن را مورد مطالعه قرار دادند و مقدار بهینه چگالی نسبی برای داشتن محصول نهایی باکیفیت را ۴۶٪ گزارش کردند.

با توجه به برسی‌های انجام شده در نوشتۀ‌های محققین پیشین برسی رفتار ترمومکانیکی فرآیند ذوب انتخابی با لیزر بیشتر معطوف به مدل‌سازی رفتار حرارتی شده و برسی‌های اندکی در خصوص مدل‌سازی رفتار مکانیکی آن در شرایط مرزی مختلف صورت گرفته است. ضمن این‌که مدل‌های

انقلاب سوم صنعتی یاد می‌کنند و آینده‌پژوهشی در خصوص این فناوری به گونه‌ای است که حتی برخی از صنعتگران معتقدند که با پیشرفت‌های چشمگیر در حوزه ساخت افزودنی و رسیدن به بلوغ در آن، ساخت به شیوه‌ای که امروزه انجام می‌گیرد، دیگر وجود نخواهد داشت و ساخت به این شیوه سبکی نو در طراحی محصول و بازار کسب و کار ایجاد می‌کند [1].

یافتن مبدأ زمانی دقیق فناوری‌های مرتبط با ساخت افزودنی کار آسانی نیست، ولی می‌توان بیان کرد که آغاز فعالیت‌های بازد در این حوزه به سال‌های بین 1950-1960 میلادی برمی‌گردد. ظهور رایانه‌ها و ارتقاء آن‌ها، توسعه لیزرهای کنترلرها و دیگر تجهیزات مرتبط با فناوری ساخت افزودنی، تاریخ پیدایش این فناوری را به دهه 1980 میلادی مرتبط می‌کند. با تحقیق و توسعه در اوائل دهه 1980 به صورت موازی اختراعاتی در خصوص روش ساخت افزودنی در کشورهای مختلف به ثبت رسید که از مهم‌ترین آن‌ها می‌توان به کشور ژاپن، توسط موراتانی، کشور فرانسه، توسط آندره و همکاران و کشور ایالات متحده آمریکا توسط مسترس و چاک هال اشاره کرد [1]. در تمامی این اختراعات نکته‌ای که به صورت مشترک مورد توجه قرار گرفته بود، ساخت یک قطعه سه‌بعدی با افزودن مواد به صورت لایه به لایه است. شروع فناوری چاپ سه‌بعدی بر بستری از پودر توسط گروهی از محققین دانشگاه ولی‌تی^۶ در سال 1989 ثبت شد [1] و مقاله پژوهشی مرتبط با آن در سال 1992 به چاپ رسید [3]. در این شیوه آن‌ها برای اتصال پودرها از یک ماده چسبناک که توسط نازل روى پودرها پاشیده می‌شود، استفاده کردند. امروزه خلی از شرکت‌های تولیدکننده ماشین‌های ساخت افزودنی با استفاده از شیوه‌هایی مبنی بر این اختراع فعالیت خود را توسعه داده‌اند.

روش ذوب انتخابی با لیزر^۷ یکی از شیوه‌های ساخت افزودنی است که عموماً برای ساخت قطعات فلزی استفاده می‌شود. در این شیوه بستری از پودر فلز فراهم شده و از لیزر برای اتصال آن‌ها و ایجاد لایه از پودرها از یک ماده سبعدهی برای شرکت‌های تولیدکننده ماشین‌های ذوب انتخابی لیزر [1]. این روش ساخت چندین بخش و مکانیزم اساسی دارد؛ حضور یک یا چند منبع حرارتی که عمل پیش گرم کردن و ذوب میان پودرها را انجام دهند، روشی برای کنترل و هدایت منبع حرارتی لیزر و مکانیزمی برای پخش پودر روی بستر ساخت اساسی ترین بخش‌های ماشین‌های ذوب انتخابی لیزر محسوب می‌شوند. اساس کار این روش بدین صورت است که لایه‌ای نازک از پودر بر صفحه دستگاه توسط یک رولر دوران - معکوس^۸ پخش شده و به درون اتفاق حاوی گاز نیتروژن یا آرگون فرستاده می‌شود. در این اتفاق پودرهای فلزی پیش گرم می‌شوند. زمانی که ذرات به میزان کافی گرم شدند، باریکه لیزر مستقیماً روی بستر پودر می‌تابد و با حرکت کردن در موقعیت‌های برنامه‌ریزی شده، سطح پودر را اسکن می‌کند. در محل تابش لیزر یک حوضچه میکرونی مذاب تشکیل می‌شود که سبب اتصال پودرها به هم و تشکیل لایه سخت از جامد می‌شود. پس از این که ساخت لایه اول به اتمام رسید، صفحه ساخت دستگاه به اندازه ضخامت یک لایه پایین می‌آید و مجدد پودر پاشیده می‌شود و عملیات ساخت از سر گرفته خواهد شد. این عمل تکرار می‌شود تا هنگامی که لایه‌ها به اتمام برسد و قطعه تولید شود [4].

شكل حوضچه مذاب و توزیع درجه حرارت در کیفیت قطعه ساخته شده به روشن ذوب انتخابی با لیزر تأثیر بسیاری دارد. در این شیوه که قطعه دائم در معرض حرارت قرار گرفته و سپس خنک کاری می‌شود به دلیل رویارویی با بارگذاری سیکلی و نامتقارن مقادیر قابل توجهی از تنش‌های پسماند در آن به

¹ MIT² Selective laser melting (SLM)³ Counter-rotating powder leveling roller⁴ Selective laser sintering (SLS)⁵ Element death and birth

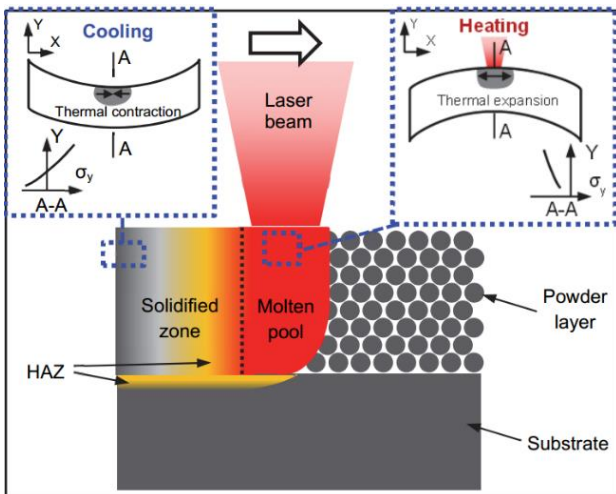


Fig. 1 Formation of the thermal residual stresses in selective laser melting process [11]

شکل ۱ شکل‌گیری تنش‌های پسماند حرارتی در فرآیند ذوب انتخابی با لیزر [11]

محصور شده است یک تنش فشاری را در قطعه به وجود می‌آورد. اگر این تنش بیش از حد تسليیم ماده باشد قطعه دچار اعوجاج می‌شود. در ادامه ناحیه فوقانی پس از دور شدن لیزر و سردشدن ناحیه ذوب شروع به انقباض می‌کند که نتیجه آن ایجاد تنش پسماند کششی است. تنش‌های پسماند کششی در لایه در هر مرحله اسکن روی هم جمع می‌شوند که خود می‌تواند عامل ایجاد ترک و گسیختگی در قطعه شود. علاوه‌بر این حضور تنش‌های پسماند کششی سبب اعوجاج قطعه خواهد شد به گونه‌ایی که سطح فوقانی لایه نسبت به سطح تحتانی کوچک‌تر شده و انحنای قطعه به سمت لیزر (سطح مقعر) را موجب می‌شود. در این پژوهش چند مورد اساسی جهت مدل‌سازی اجزاء محدود فرآیند ذوب انتخابی با لیزر مورد توجه قرار گرفته است که در ادامه هر یک از این موارد بررسی خواهند شد.

2- مدل‌سازی شار حرارتی ناشی از لیزر

مدل گوسی از رایج‌ترین روابط ریاضی است که معمولاً برای مدل‌سازی توزيع شار حرارتی ناشی از لیزر استفاده و به صورت رابطه (1) بیان می‌شود.

$$q(r) = \left(\frac{AP}{\pi r_0^2} \right) \exp \left(-\frac{Br^2}{r_0^2} \right) \quad (1)$$

در رابطه بالا q بزرگی شار حرارتی لیزر، A ضریب جذب تشعشعات لیزر توسط سطح پودر، P توان لیزر، r_0 شعاع تابش لیزر روی سطح و B ضریب شکل توزیع گوسی است که معمولاً مقدار آن 2 است. r متغیری است که فاصله شعاعی از مرکز تابش لیزر را نشان می‌دهد. برای ایجاد شار متحرک از زیربرنامه دی‌فلکس^۶ در نرم‌افزار آباکوس استفاده شده است.

زیربرنامه دی‌فلکس هنگامی مورد استفاده قرار می‌گیرد که هدف ایجاد شار حرارتی یا جرمی با توزیع غیرهمگن به ترتیب در مسئله انتقال حرارت و یا انتقال جرم باشد. این شار می‌تواند به عنوان نمونه تابعی از موقعیت مکانی نقاط انتگرال‌گیری، زمان، دما، شماره المان و یا شماره نقطه انتگرال‌گیری باشد. ساختار کلی زیر برنامه دی‌فلکس را می‌توان از راهنمای نرم‌افزار آباکوس یافت. درایه اول آرایه Flux مقدار شار حرارتی را تعیین می‌کند. دی‌فلکس باید مقداردهی شود. (1) مقدار شار حرارتی را تعیین می‌کند. با تعیین کردن مدل تابش لیزر یعنی معادله (1) ملاحظه می‌شود که وضعیت

حرارتی با فرضیات ساده‌شونده زیادی همراه بودند.

در پژوهش کنونی هدف مدل‌سازی رفتار ترمومکانیکی فرآیند ذوب انتخابی با لیزر است که به دلیل پیچیدگی‌های حاکم بر رفتار این پدیده از ابار اجزاء محدود برای حل عددی معادلات آن استفاده می‌شود. برای شبیه‌سازی اجزاء محدود از نرم‌افزار آباکوس^۱ استفاده شده است. جهت ارائه به دما و دو زیربرنامه برای مدل‌سازی رفتار شار حرارتی متحرک لیزر و بروزرسانی خواص مادی از جامد پودری به جامد تپیر استفاده شده است. در ادامه در بخش 2 مدل‌سازی فرآیند ذوب انتخابی با لیزر تشریح شده و سپس در بخش 3 روند شبیه‌سازی مورد نظر اعتبارسنجی خواهد شد. در انتها در بخش 4 نتایج ترمومکانیکی فرآیند ذوب انتخابی برای یک تک‌لایه و برای دو شرط مرزی مکانیکی مختلف بررسی می‌شود.

2- مدل‌سازی فرآیند ذوب انتخابی با لیزر

همان‌طور که پیشتر در بخش 1 بیان شد در فرآیند ساخت به روش ذوب انتخابی، لیزر سطح لایه پودر را اسکن می‌کند؛ طوری که در محل تابش لیزر یک حوضچه میکروونی مذاب تشکیل می‌شود. ابعاد حوضچه مذاب به شدت تحت تأثیر مقدار انرژی در واحد حجمی است که اعمال می‌شود. این مقدار انرژی را می‌توان از طریق پارامترهای لیزر چون قدرت و سرعت اسکن لیزر کنترل کرد. حوضچه مذاب با افزایش سرعت اسکن لیزر کشیده‌تر می‌شود؛ طوری که نسبت طول به قطر آن افزایش می‌یابد. اگر نسبت یادشده از عدد $\pi = 3.14$ بیشتر شود حوضچه مذاب پس از انجامد گوله‌های شبیه کروی را نتیجه می‌دهد که اصطلاحاً عیوبی به نام گوله‌ای شدن^۲ به وقوع پیوسته است [13]. این عیوب یکپارچگی و صافی سطح قطعه نهایی را به شدت تحت تأثیر قرار می‌دهد. برای جلوگیری از رخداد این پدیده سرعت اسکن لیزر باید به درستی تنظیم شود [14].

مکانیزم‌های مختلف انتقال حرارت یعنی رسانش حرارتی^۳، جابه‌جایی^۴ و تابش^۵ در توزیع حرارت در فرآیند تابش لیزر روی سطح پودر مؤثر است. نکته حائز اهمیت وضعیت انتقال حرارت در لایه پودر و لایه جامد تپیر بوده که به طور قابل ملاحظه‌ای باهم متفاوت است. دلیل نخست جذب حرارت ناشی از لیزر در بستر پودر به دلیل فرم دانه‌ای آن نسبت به لایه جامد بیشتر است و دیگر این که ضریب انتقال حرارت رسانشی در بستر پودر نسبت به سطح جامد تپیر پایین است. رسانش حرارتی پایین در پودر ناشی از به دام افتادن هوا در بین ذرات پودر و وجود سطح تماس میان ذرات است [15]. مواردی که بیان شد موجب می‌شود تا مقدار رسانش حرارتی و توزیع حرارت و در نهایت کیفیت سطح نهایی قطعه با تغییر قطر ذرات پودر و تغییر تراکم پودرها تغییر کند [12]. شکل 1 نحوه شکل‌گیری لایه جامد و چگونگی رخداد تنش پسماند حرارتی را نشان می‌دهد. در فرآیند ذوب انتخابی، دمای سطح پودر در محل تابش لیزر به سرعت افزایش می‌یابد و از آن جایی که پودرهای مجاور و زیرین دارای ضریب انتقال حرارت بسیار کوچکی هستند، گرادیان‌های حرارتی شدیدی بین نقطه تابش با نقاط مجاور پدیدار می‌شود [13]. اعمال یک گرادیان حرارتی شدید در راستای ضخامت لایه موجب می‌شود تا سطح فوقانی لایه پودر منبسط شود و کرنش حرارتی این ناحیه که از اطراف

¹ABAQUS

²Balling effect

³Conduction

⁴Convection

⁵Radiation

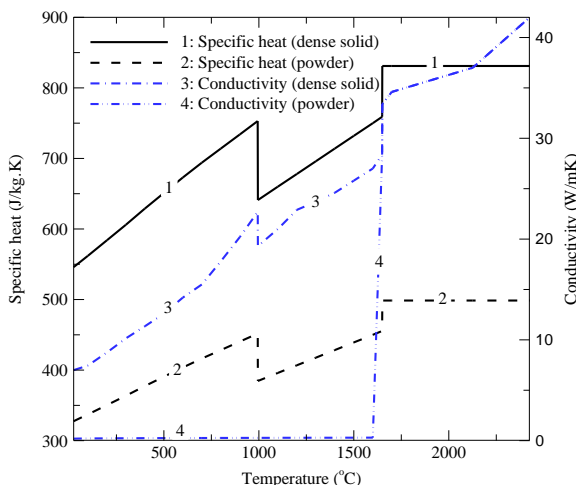


Fig. 3 Variation of specific heat and thermal conductivity coefficients versus temperature for Ti-6Al-4V alloy in dense solid phase and powder phase with 40 percent porosity [9, 16]

شکل ۳ تغییرات ضرایب حرارت مخصوص و رسانش حرارتی با دما برای آلیاژ فلزی Ti-6Al-4V در فاز جامد توپر و فاز پودر با تخلخل ۴۰ درصد [9, 16]

جدول ۱ خواص ترمومکانیکی آلیاژ فلزی Ti-6Al-4V در فاز جامد توپر و فاز پودر با تخلخل ۴۰٪ [17,16,11,9]

Table 1 Thermo-mechanical properties of Ti-6Al-4V alloy in dense solid phase and powder phase with 40 percent porosity [9,11,16,17]

خواص ترمومکانیکی	پودر	جامد توپر
مدول الاستیک (Pa)	1.1×10^{10}	1.1×10^{11}
ضریب پواسون (m/m)	0.41	0.41
حد تسلیم (Pa)	8.25×10^7	8.25×10^8
دمای کمینه ذوب (°C) ^(*)	1605	1605
دمای بیشینه ذوب (°C) ^(**)	1650	1650
گرمایی نهان ذوب (J/kg)	286000	286000
ضریب انبساط حرارتی (1/°C)	6.6×10^{-6}	1.1×10^{-5}
دمای کمینه ذوب یا Liquidus temperature	(°C)	
دمای بیشینه ذوب یا Solidus temperature	(°C)	

رفتار ماده در حالت پلاستیک، پلاستیک کامل^۱ فرض شده است. در مورد سایر پارامترهای فیزیکی که مربوط به اندرکنش‌های بین سطح پودر و هوا است مقدار $10 \text{ W/m}^2\text{K}$ برای ضریب جابه‌جایی حرارتی، مقدار ۰.۷۶ برای ضریب جذب تشعشعات لیزر (پارامتر A در رابطه (۱)) و مقدار ۰.۱۹ برای ضریب نشر^۲ (گسیل) سطح جسم در نظر گرفته شده است.

2-الگوریتم بروزرسانی خواص مادی

هنگامی که لیزر سطح لایه پودر را اسکن می‌کند در محل تابش لیزر و نواحی مجاور آن پودرهای دلیل حرارت بالا ذوب شده و با اتصال آن‌ها به یکدیگر حفرات حذف شده و یک جامد توپر با خواص متفاوت حاصل خواهد شد؛ بنابراین با عبور لیزر از سطح پودر و ذوب کردن موضعی محل تابش نیاز است تا خواص مادی از پودر به ماده چگال بروزرسانی شود. این کار در نرمافزار آباکوس از طریق زیربرنامه USDFLD که برای تعریف متغیرهای میدان استفاده می‌شود، قابل انجام است.

زیربرنامه USDFLD این امکان را در اختیار کاربر قرار می‌دهد تا

شار حرارتی به مختصات فضایی وابسته است. این مختصات را می‌توان به سرعت و زمان ارتباط داد و یک شار متحرک با زمان بعنوان مدلی از حرکت لیزر ایجاد کرد. تمامی متغیرهای رابطه (۱) در زیر برنامه دی‌فلاکس باید تعریف و مقدار دهی شوند.

2- تعیین خواص مادی و پارامترهای فیزیکی مسئله

با توجه به این که در فرآیند ساخت ذوب انتخابی با لیزر تغییرات دمایی شدیدی اتفاق می‌افتد باید ملاحظات دمایی در تعیین خواص ماده در نظر گرفته شوند. آلیاژ پایه تیتانیوم Ti-6Al-4V ماده مورد بررسی در این پژوهش است که یکی از مواد رایج در بحث سازه‌های هوافضایی و ساخت تجهیزات پزشکی محسوب می‌شود. از میان خواص ترموفیزیکی ماده برخی نسبت به دما وابستگی شدیدتری دارند و از این‌رو برای داشتن یک شبیه‌سازی واقعی باید این گونه موارد به درستی مورد توجه قرار گیرند. در بحث شبیه‌سازی حرارتی هنگامی که دما به اندازه‌ای باشد که تغییر فاز در ماده مشاهده شود ضرایب رسانش حرارتی و گرمایی ویژه تغییرات شدیدی با دما دارند. نکته دیگر تفاوت ضریب رسانش حرارتی برای پودر و جامد توپر است. ضریب رسانش حرارتی برای پودرهای فلزی با قطر مؤثر بین ۵۰-۵۰ μm که هوا در میان حفرات آن‌ها به دام افتاده معمولاً حدود ۰.۱-۰.۲ W/mK است [19]. با این حال این ضریب با ذوب شدن پودر، حذف هوا و برقراری پیوستگی به صورت ناگهانی افزایش می‌یابد. این نکات باید در شبیه‌سازی فرآیند ذوب انتخابی با لیزر لحاظ شود. شکل‌های ۲ و ۳ خواص فیزیکی- حرارتی مربوط به جامد توپر و پودر آلیاژ فلزی- Ti-6Al-4V را نشان می‌دهد. در این پژوهش برای پودر فلز با تخلخل ۴۰٪ لحاظ شده است.

سایر خواص مکانیکی و حرارتی مربوط به فاز پودر و جامد توپر آلیاژ- Ti-6Al-4V در جدول ۱ ارائه شدند. اثرات وابستگی به دما برای کمیت‌های معرفی شده در این جدول لحاظ نشده است. در جدول ۱ مقدار مدول الاستیک و حد تسلیم پلاستیک فاز جامد توپر یک مرتبه بزرگ‌تر از حالت جامد پودری فرض شده است.

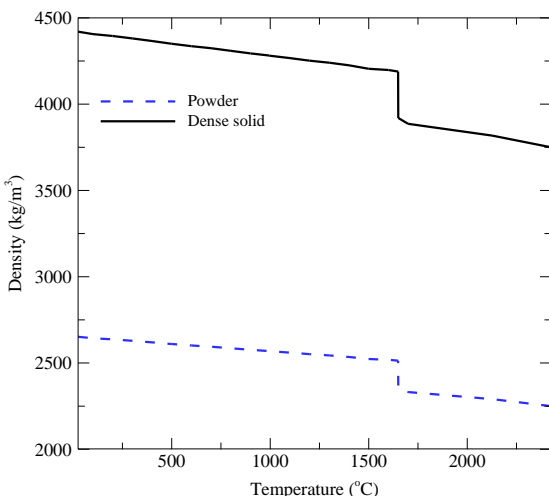


Fig. 2 Variation of density versus temperature for Ti-6Al-4V alloy in dense solid phase and powder phase with 40 percent porosity [16]

شکل ۲ تغییرات چگالی با دما برای آلیاژ فلزی Ti-6Al-4V در فاز جامد توپر و فاز پودر با تخلخل ۴۰٪ [16]

¹ Perfectly-plastic

² Emissivity

توبیر، در قسمت تعداد متغیرهای میدان^۶ عدد ۱ تنظیم می‌شود. نحوه درج داده‌ها به این صورت است که به عنوان مثال سه ستون داده برای خاصیت چگالی وابسته به دما باید وارد شود. ستون اول چگالی، ستون دوم دما و ستون سوم نوع فاز را مشخص می‌کند. در ستون سوم ابتدا اعداد ۰ نمایانگر فاز پودر، و سپس ۱ نمایانگر فاز جامد توبیر نوشته می‌شوند. گزینه میدان تعريفشده توسط کاربر^۷ باید از منوی عمومی^۸ انتخاب شود. این گزینه استفاده از زیربرنامه USDFLD را برای حل گر مسئله آشکار می‌کند. پس از تکمیل اطلاعات خواص مادی با ایجاد بخش^۹ جدید خواص به مدل هندسی مورد نظر اختصاص داده می‌شود (مرحله ۲).

در ادامه مازول مونتاژ^{۱۰} فعال می‌شود، ولی از آنجایی که مدل هندسی مسئله تنها شامل یک قطعه است نیاز به مونتاژ و یا برهم‌نهی وجود ندارد (مرحله ۳).

از آنجایی که روش مورد نظر در این پژوهش بر مبنای تحلیل نیمه‌کوپل است، ابتدا نیاز است حل حرارتی مسئله انجام شود. با توجه به این موضوع المان ۸ گرهای DC3D8 در مازول شبکه‌بندی^{۱۱} برای مسئله انتقال حرارت^{۱۲} انتخاب شده و سپس مدل هندسی با المان‌های مکعبی (آجری) شبکه‌بندی می‌شود (مرحله ۴).

در مازول گام^{۱۳} تنظیمات گام‌های مختلف برای حل گر از جمله زمان هر گام و پارامترهای کنترل محاسبات عددی تعیین می‌شود. همان طور که در بخش ۴-۲ بیان شد با استفاده از فرآیند تولد و مرگ المان در گام ۱ تمامی لایه‌ها حذف می‌شوند (می‌میرند). در گام ۲ لایه اول متولد می‌شود و عملیات اسکن لیزر روی سطح آن انجام می‌شود. در گام ۳ مدت زمانی برای خنک‌کاری لایه ساخته شده اختصاص داده می‌شود. این گام‌ها به تعداد لایه‌هایی که باید ساخته شوند تکرار می‌شود (مرحله ۵).

در مازول برهم‌کنش^{۱۴} قیود تماسی جامد-جامد، جامد-سیال (هوای) و برخی از پارامترهای مرتبط با شرایط محیطی که در بخش ۲-۲ تشریح شد، تنظیم می‌شود، همچنین تنظیمات مربوط به فرآیند لایه‌نگاری، تولد و مرگ المان‌ها انجام خواهد شد. در بحث قیود جامد-جامد که هدف برقراری اتصال کامل بین لایه اول با زمینه و سایر لایه‌های است از قید گره^{۱۵} استفاده می‌شود. قیود جامد-سیال شامل تعیین برخی از پارامترهای حرارتی مرتبط با انتقال حرارت جابه‌جایی و تابشی از قطعه به محیط بیرون است. در بحث تنظیمات مربوط به تولد و مرگ المان‌ها از بخش تغییر مدل^{۱۶} تمامی لایه‌ها در گام ۱ غیرفعال می‌شوند.^{۱۷} در گام ۲ المان‌های لایه اول فعل شده و سپس لیزر عملیات اسکن را روی آن انجام می‌دهد. برای این منظور گزینه فعل‌سازی مجدد در این گام^{۱۸} برای ناحیه مربوط به لایه نخست تنظیم می‌شود. این تنظیم برای سایر لایه‌ها در گام‌های معینی تکرار می‌شود (مرحله ۶).

در مازول بارگذاری^{۱۹} تنظیمات مربوط به شار حرارتی ناشی از لیزر و شرایط مرزی و اولیه مسئله انجام می‌شود. از آنجایی که شار حرارتی لیزر در

متغیرهای میدانی^۱ جدیدی در نقاط مادی تعریف کند. متغیر میدانی خود تابعی از زمان یا سایر متغیرهای در دسترس و پیش‌تعریف شده است. بخش عمداتی از این متغیرها از طریق زیربرنامه دیگری به نام GETVRM به درون زیربرنامه USDFLD انتقال داده می‌شود. زیربرنامه USDFLD در هر نقطه مادی از المان فراخوانی می‌شود و حامل اطلاعات مربوط به متغیرهای میدان در آن نقطه است. با داشتن مقدار متغیر میدان در آن نقاط مادی خواص مادی که وابسته به مقدار متغیر میدان هستند، برای حل گر مشخص خواهد شد.

در زیربرنامه نوشته شده بروزرسانی خواص در نقاط مادی با استفاده از شرط دمایی انجام شده است؛ طوری که هر نقطه انتگرالی که دمای آن به بیش از دمای ذوب، ۱۶۵۰ درجه سانتی‌گراد، بر سر فاز آن از عدد صفر (پودر) به عدد یک (جامد چگال و توبیر) تغییر کرده و متناسب با آن خواص حرارتی، مکانیکی و فیزیکی آن به روز می‌شود. اطلاعات دمایی و فاز ماده از طریق زیربرنامه GETVRM وارد زیربرنامه اصلی USDFLD می‌شوند.

2-4- مدل سازی فرآیند لایه‌نگاری

جهت شبیه‌سازی فرآیند لایه‌نگاری در نرمافزارهای اجزاء محدود یکی از تکنیک‌های رایج استفاده از قابلیت آن‌ها در تولد و مرگ المان^۲ است. به این صورت که لایه‌ای از پودر (مجموعه‌ای از المان‌ها) روی زمینه نگاشته می‌شود و سپس لیزر روی سطح فوقانی لایه می‌تابد. لایه فلز پس از اتمام کار لیزر مدت زمان اندکی خنک می‌شود. فرآیند برای ساخت لایه دوم با فعل کردن دسته دوم از المان‌ها روی سطح لایه اول تکرار می‌شود. پس از عملیات تابش لیزر روی سطح لایه دوم و خنک کاری لایه سوم فعل خواهد شد. این عمل تا اتمام فرآیند ساخت تکرار می‌شود. فرآیند لایه‌نگاری به این شیوه را نخستین بار دای و همکاران در سال ۲۰۰۴ میلادی [۶] مورد بررسی قراردادند. در این پژوهش با استفاده از چنین مدلی عملیات لایه‌نگاری انجام خواهد شد.

3- روند شبیه‌سازی حرارتی - مکانیکی فرآیند ذوب انتخابی با لیزر

برای شبیه‌سازی حرارتی - مکانیکی از مدل نیمه‌کوپل در این پژوهش استفاده شده است. ابتدا تحلیل حرارتی مسئله در نرمافزار اجزاء محدود انجام می‌شود و نتایج آن ذخیره خواهد شد؛ سپس در شبیه‌سازی مشابه دیگری، ولی این بار تحلیل مکانیکی، داده‌های بدست‌آمده از تحلیل گذشته (دمای گره‌ای)، به عنوان بار حرارتی به مسئله اعمال شده و پس از در نظر گرفتن شرایط مرزی-تکیه‌گاهی حل مسئله تکمیل خواهد شد.

برای آشنایی با روند شبیه‌سازی مسئله در نرمافزار آباکوس، ابتدا یک یک مکعب مستطیل با طول، عرض و ضخامت مشخص در مازول قطعه^۳ ترسیم می‌شود (مرحله ۱).

در مازول خاصیت^۴ خواص حرارتی و مکانیکی جامد توبیر و متخالخل ماده براساس داده‌های شکل‌های ۲ و ۳ و جدول ۱، به عنوان ورودی به نرمافزار داده می‌شود. همان طور که پیشتر هم اشاره شد در میان خواص حرارتی و مکانیکی برخی از خواص وابستگی شدیدتری به دما نشان می‌دهند. در مورد این خواص باید گزینه استفاده از داده‌های وابسته به دما^۵ فعل شود، همچنین به واسطه تغییر فاز ناشی از ذوب، از حالت جامد پودری به جامد

⁶ Number of field variables

⁷ User Defined Field

⁸ General

⁹ Section

¹⁰ Assembly

¹¹ Mesh

¹² Heat transfer

¹³ Step

¹⁴ Interaction

¹⁵ Tie

¹⁶ Model change

¹⁷ Deactivated in this step

¹⁸ Reactivated in this step

¹⁹ Load

¹ Field variables (FV)

² The element birth and death

³ Part

⁴ Property

⁵ Use temperature-dependent data

مطابق با شرایط محیطی و جنس مورد بررسی لحاظ شده است. مطالعات پارامتری در خصوص توزیع حرارت در راستاهای مختلف در قطعه و اثرات لایه‌نگاری بررسی خواهد شد. پس از اعتبارسنجی در زیر بخش 2-4 مسئله جدیدی به منظور تحلیل ترمومکانیکی یک تک لایه اجسام خواهد شد. در این تحلیل تنش‌های پسماند در قطعه، اعوجاج و تغییر شکل قطعه ساخته شده به روش ذوب انتخابی برای دو شرط مرزی مکانیکی مختلف بررسی شده و نتایج آن ارائه می‌شود.

4-1-اعتبارسنجی روند شیبیه‌سازی

مسئله حاضر شیبیه‌سازی حرارتی فرآیند ساخت ذوب انتخابی با لیزر است. مدل هندسی مورد نظر از دو بخش زمینه و لایه پودر تشکیل شده است. زمینه مکعب مستطیلی با سطح مقطع $500 \times 200 \mu\text{m}^2$ و ضخامت $500 \mu\text{m}$ و لایه پودر، مکعب مستطیلی با همان سطح مقطع زمینه و ضخامت $30 \mu\text{m}$ است. جنس هر دو ماده زمینه و لایه پودر از آلیاژ پایه تیتانیوم Ti-6Al-4V انتخاب شده است.

روند شیبیه‌سازی این گونه است که لایه پودر روی زمینه می‌نشیند و لیزر با شعاع 26 میکروم و سرعت ثابت 200mm/s روی سطح لایه حرکت می‌کند. سطح لایه پس از اسکن اندکی خنک می‌شود و مراحل برای ساخت لایه بعد تا 5 لایه تکرار می‌شود. قطعه در حالت اولیه در دمای محیط 20 درجه سانتی‌گراد فرض شده است.

جهت بررسی وضعیت شبکه‌بندی و تعداد المان‌های مناسب در حل اجزاء محدود مسئله سه نوع شبکه‌بندی درشت، متوسط و ریز انتخاب شده است. نتایج توزیع دما در راستای پهنای قطعه و در لحظه شروع اسکن لیزر برای سه نوع شبکه‌بندی مختلف در شکل 4 نشان داده شده است. با توجه به شکل 4 ملاحظه می‌شود که با افزایش تعداد المان‌ها نتایج به مقادیر مشخصی همگرا شده است. نتایج حاکی از این موضوع است که حل مسئله با شبکه‌بندی متوسط انتخابی 19000 المان از دقت مناسبی برخوردار است و سعی می‌شود تا این شبکه‌بندی در مطالعات بعدی به کار گرفته شود.

شکل 5 تغییرات دما از محل تابش لیزر و در راستای عمق قطعه را نشان می‌دهد. داده‌های ارائه شده مربوط به حالتی است که تنها یک لایه پودر روی

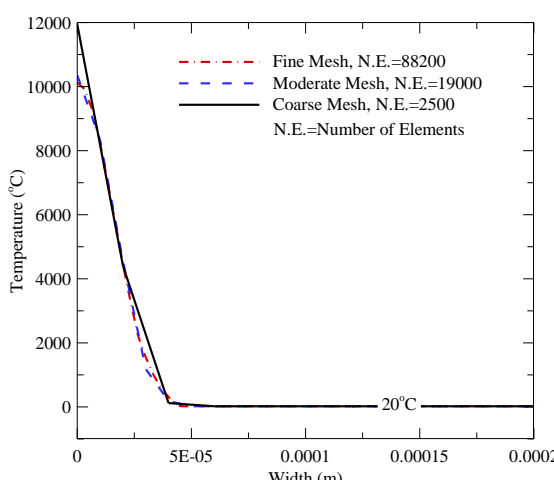


Fig. 4 Comparison of temperature distribution from center of the laser spot to the width direction of the substrate for various mesh size

شکل 4 مقایسه نتایج توزیع دما در راستای عرض زمینه از محل تابش لیزر برای اندازه شبکه مختلف

مسئله حاضر یک شار متجرک بوده تنظیمات پیش‌فرض نرم‌افزار قادر به اعمال چنین موردی نیست و نوع توزیع شار تعریف شده توسط کاربر¹ انتخاب می‌شود. با این تنظیم نیاز است تا اطلاعات شار در زیربرنامه دی‌فلکس مشخص شوند، همچنین با توجه به این که مسئله انتقال حرارت گذراست باید دمای اولیه مجموعه از قسمت ایجاد میدان پیش‌تعریف شده² مشخص شود (مرحله 7).

در منوی اصلی نرم‌افزار ثوابت مربوط به دمای صفر کلوین و ثابت استیفان-بولتزمن³ در اختیار حل‌گر مسئله قرار داده می‌شود و سپس با ایجاد ایجاد یک فضای کاری جدید⁴ مسئله برای شروع حل ولیده می‌شود. در تنظیمات این بخش فایل حاوی دو زیر برنامه به حل‌گر آدرس دهی می‌شود تا بحث بروزرسانی خواص و شار متجرک را اعمال کند (مرحله 8).

پس از این که تحلیل حرارتی مسئله تکمیل شد تحلیل مکانیکی مسئله مورد بررسی قرار می‌گیرد. در این تحلیل نیاز است تا در برخی مراحل اصلاحاتی انجام شود. تمامی گام‌های پیشین در مازول گام حذف شده و نیاز است تا گام‌های جدیدی از نوع دینامیکی - ضمی⁵ انتخاب شود. در مازول بارگذاری بارهای حرارتی پیشین حذف شده و در بخش ایجاد میدان پیش تعریف شده، نتایج دمای گرهای حاصل از تحلیل حرارتی به نرم‌افزار آدرس دهی می‌شود. در مازول بارگذاری نیاز است تا شرایط مرزی - تکیه‌گاهی مسئله نیز مشخص شود. می‌توان حالت‌های مختلفی را برای شرط مرزی لایه مستور شد (گام 9). خلاصه‌ای از مراحل و روند شیبیه‌سازی فرآیند ذوب انتخابی با لیزر در جدول 2 ارائه شده است.

4- نتایج و بحث

در این بخش ابتدا در زیر بخش 14 روند شیبیه‌سازی مسئله اعتبارسنجی شده و بر درستی آن صحه‌گذاری می‌شود. برای این منظور نمونه مورد مطالعه فو و گواو [11] که تحلیل حرارتی فرآیند ذوب انتخابی با لیزر است با کمی اصلاح و تنظیماتی مشابه در نرم‌افزار اجزاء محدود ABAQUS مدل‌سازی می‌شود. در مورد پارامترهایی که داده‌ای برای آن‌ها ارائه نشده مقادیر مناسبی

جدول 2 خلاصه‌ای از روند شیبیه‌سازی ترمومکانیکی فرآیند ذوب انتخابی با لیزر با استفاده از نرم‌افزار اجزاء محدود ABAQUS

مراحل	نوع عملیات
1	مدل‌سازی هندسی قطعه
2	تعیین خواص حرارتی و مکانیکی وابسته به دما برای فاز پودر و جامد تورب
3	مونتاژ قطعات
4	استفاده از المان DC3D8 و شبکه‌بندی مدل هندسی
5	تنظیم گام‌های حل مسئله
6	تنظیم پارامترهای مربوط به قیود تماسی و فرآیند تولد و مرگ المان
7	اعمال بار حرارتی متجرک و تنظیم دمای اولیه قطعه
8	تعیین برخی ثوابت، ایجاد محیط کاری جدید و تنظیم حل‌گر مسئله با آدرس دهی فایل حاوی زیر برنامه‌ها
9	انجام برخی اصلاحات در مازول گام و بارگذاری و اجرای تحلیل مکانیکی براساس داده‌های حرارتی

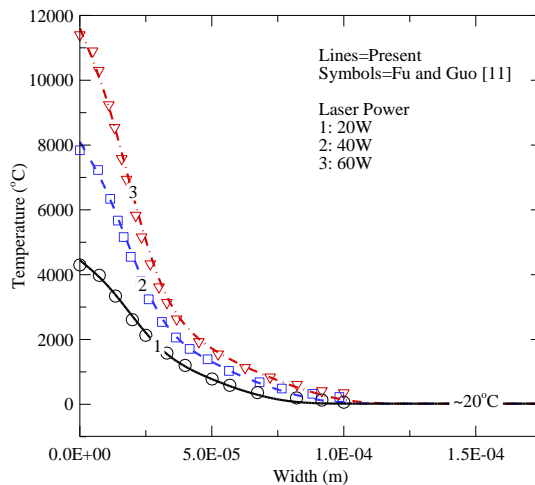
¹ User-defined

² Create Predefined Field

³ Stefan-Boltzmann constant

⁴ Job

⁵ Dynamic-Implicit



شکل ۶ توزیع دما از محل تابش لیزر روی زمینه در راستای پهنای قطعه برای توان لیزر متفاوت

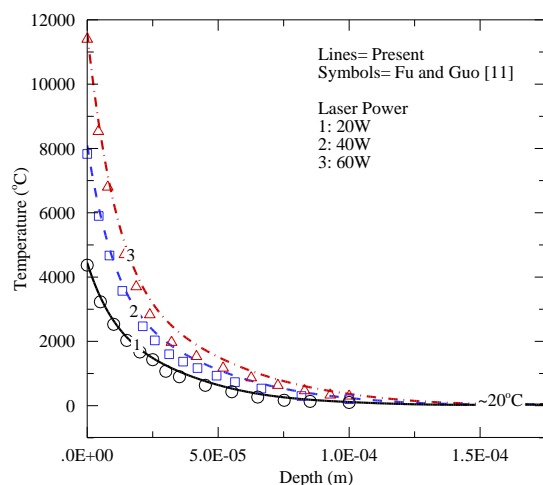
حرارتی بالای نسبت به پودر دارد. این در حالی است که با حرکت از نقطه تابش لیزر به سمت عرض قطعه تنها لایه پودر با ضربه رسانش پایین حضور دارد؛ بنابراین انتظار می‌رود که میزان نفوذ حرارت در راستای جانبی کمتر از عمق قطعه باشد.

شکل 7 تغییرات دما را در مسیر حرکت لیزر از محل تابش لیزر به عقب را نشان می‌دهد. ملاحظه می‌شود که نتایج حاصل از شبیه‌سازی حاضر با اختلاف اندکی نتایج پژوهش فو و گواو [11] را پیش‌بینی می‌کند. این اختلافات بیشتر به دلیل برخی از پارامترهای نامعلومی است که در پژوهش فو و گواو [11] معرفی نشده‌اند.

شکل 8 پیشینه و وضعیت تغییرات دما را برای نقطه‌ای واقع در لبه انتهایی ماده زمینه نشان می‌دهد. رفتار دمایی این نقطه در طی زمان ساخت 5 لایه روی آن با دو لیزر یکی با توان 20 وات و دیگری با توان 40 وات بررسی شده است. با توجه به شکل رفتار دمایی نقطه مورد نظر دارای 5 قله که هر قله نمایانگر ساخت یک‌لایه است. در گام نخست پودر لایه شماره 1 روی زمینه می‌نشیند و لیزر عملیات ساخت را روی آن طی زمان 0.0025 ثانیه انجام می‌دهد. در این مرحله به‌محض عبور لیزر از نقطه یادشده دمای آن به طور ناگهانی افزایش می‌یابد. نقطه مورد نظر تا پیش از رسیدن لیزر در همان دمای اولیه 20 درجه سانتی‌گراد قرار دارد. پس از اتمام کار لیزر لایه ساخته شده به مدت 0.01 ثانیه 0.0125 زمان می‌شود. با اتمام زمان 0.0125 ثانیه فرآیند برای ساخت لایه دوم پودر آغاز می‌شود. هر مرحله ساخت لایه شامل یک مرحله اسکن لیزر و یک مرحله خنک کاری است که در مجموع کل زمان ساخت 5 لایه 0.0625 ثانیه به طول خواهد انجامید.

4-2- تحلیل ترمومکانیکی تک لایه ساخته شده به روش ذوب انتخابی با لیزر

در این بخش هدف بررسی نتایج حاصل از شبیه‌سازی ترمومکانیکی فرآیند ساخت یک تک لایه چگال از پودر آلیاژ فلز تیتانیوم Ti-6Al-4V است. مدل هندسی مسئله مکعب مستطیلی با سطح مقطع $10 \times 10 \text{ mm}^2$ و ضخامت 0.5mm است. در این مسئله لیزر با شعاع تابش 100 میکرومتر، سرعت اسکن 100mm/s و توان 80 وات در نظر گرفته شده است.



شکل ۵ توزیع دما از محل تابش لیزر روی زمینه، در راستای عمق قطعه برای توان لیزر متفاوت

زمینه قرار داده شده است. ملاحظه می‌شود که نتایج شبیه‌سازی حاضر با دقیق بسیار خوبی با نتایج ارائه شده توسط فو و گواو [11] تطابق دارد. نخستین تفسیر فیزیکی که می‌توان از نتایج شکل 5 ارائه کرد این است که دما به صورت نمایی از محل تابش لیزر تا نواحی دوردست در عمق قطعه در حال کاهش است. ملاحظه می‌شود که حرارت تقریباً حدود 150 میکرومتر (حدود 3 برابر قطر تابش لیزر) در عمق قطعه نفوذ کرده است و دمای قطعه از عمق 150 میکرومتر به بعد در همان دمای اولیه خود و برابر دمای محیط انتخاب شده باقی می‌ماند.

شکل 5 نشان می‌دهد مقدار بیشینه حرارت ایجادشده در شبیه‌سازی عددی با افزایش توان و قدرت لیزر از مقدار 20 وات به مقادیر 40 و 60 وات به ترتیب 2 و 3 برابر شده است. مشاهده می‌شود که افزایش توان لیزر نفوذ حرارت به عمق بیشتر را موجب نشده است؛ بنابراین با افزایش توان لیزر، گرادیان‌های دمایی بیشتری در راستای عمق قطعه حاصل خواهد شد. اگرچه دمای‌های فوق العاده بالا در شبیه‌سازی عددی این فرآیند حاصل شد، ولی باید دانست که در چنین دمای‌هایی ماده تبخیر می‌شود. به عنوان نمونه تیتانیوم خالص دارای دمای جوشش در محدوده 3300 درجه سانتی‌گراد است. در شبیه‌سازی حاضر تغییر فاز مایع به گاز بررسی نمی‌شود. بررسی وضعیت توزیع دما از محل تابش لیزر و در راستای پهنای قطعه در شکل 6 نشان داده شده است. همان‌طور که ملاحظه می‌شود دما از نقطه بیشینه که محل تابش لیزر است تا پهنای حدود 100 میکرومتر به صورت یکنوا روبه کاهش است، همچنین نتایج حاصل از شبیه‌سازی نشان می‌دهد که حرارت حاصل از لیزر مستقل از توان لیزر حداقل تا 100 میکرومتر (حدود 2 برابر قطر تابش لیزر) در پهنای قطعه نفوذ می‌کند و از این مقدار به بعد دما همان مقدار اولیه یعنی 20 درجه سانتی‌گراد باقی می‌ماند.

با توجه به شکل‌های 5 و 6 این نتیجه حاصل می‌شود که میزان نفوذ حرارت در راستای عمق 1.5 برابر میزان نفوذ حرارت در راستای عرض قطعه و دلیل این امر اختلاف ضربه رسانش حرارتی مؤثر در دو مسیر است. با حرکت از محل تابش لیزر به سمت عمق قطعه دو ماده با دو ضربه رسانش حرارتی متفاوت حضور دارند. لایه‌ای از پودر با ضربه رسانش ناچیز تا عمق 30 میکرومتری و از 30 میکرومتر به بعد زمینه قرار دارد که ضربه رسانش

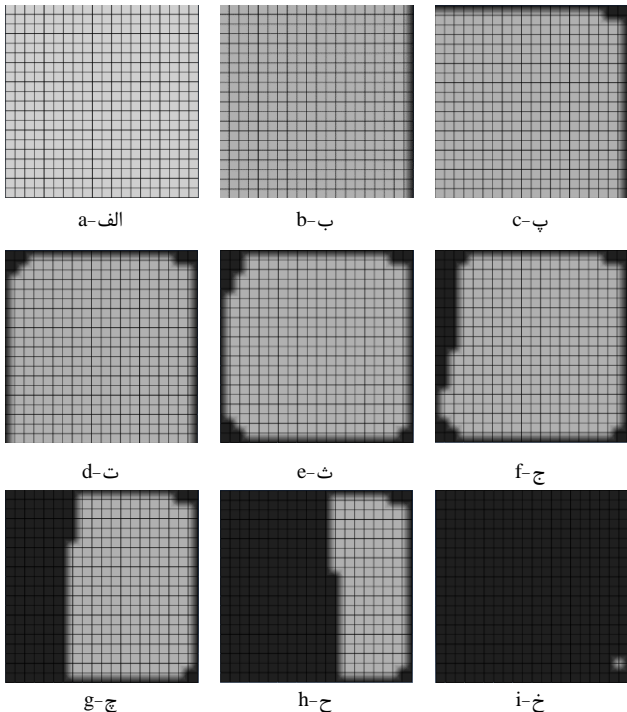


Fig. 9 The phase change from the powder state to the dense solid state during SLM process; (a) - (e): the laser moves around the boundaries of the powder layer; (f) - (i): the laser scans the interior area of the powder layer

شکل ۹ تغییر فاز از حالت جامد پودری (رنگ سفید) به جامد چگال (رنگ مشکی) حين عملیات ساخت به روش ذوب انتخابی با لیزر؛ الف-ث- لیزر مرزهای لایه پودر اولیه را اسکن می‌نماید-ج-خ- لیزر نواحی داخلی لایه پودر را اسکن می‌کند.

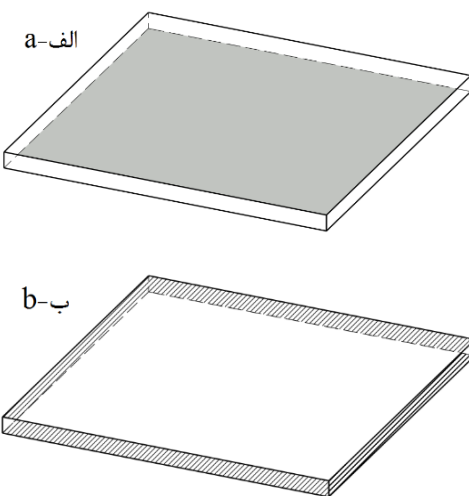


Fig. 10 Boundary conditions for two different cases, a- the bottom face is clamped, and b- the lateral faces are simply-supported

شکل ۱۰ شرایط مرزی برای دو حالت مختلف الف- سطح پایه‌نی ورق گیردار است و ب- سطوح جانبی ورق با تکیه‌گاه ساده مقید باشند

همچنین گوشه‌های تیز مورد انتظار به گوشه‌هایی گرد بدل شده‌اند. در شرط مرزی نوع ب چون تمامی سطوح جانبی با تکیه‌گاه‌های ساده مقید شده‌اند، مرزها صاف باقی می‌مانند، ولی قطعه دچار تغییرشکل‌های خارج صفحه‌ای می‌شود.

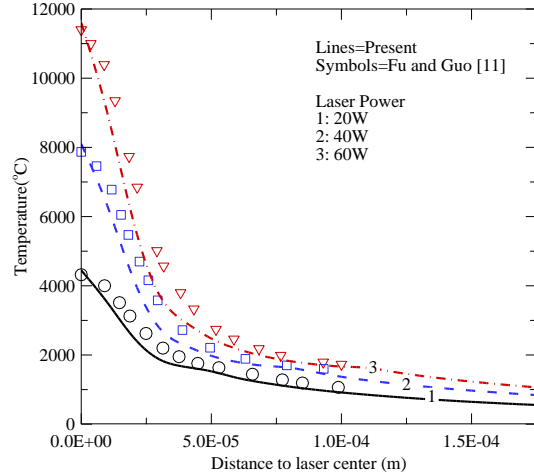


Fig. 7 Temperature distribution along laser scanning direction for various laser power

شکل ۷ توزیع دما در امتداد خط اسکن لیزر برای توان لیزر مختلف

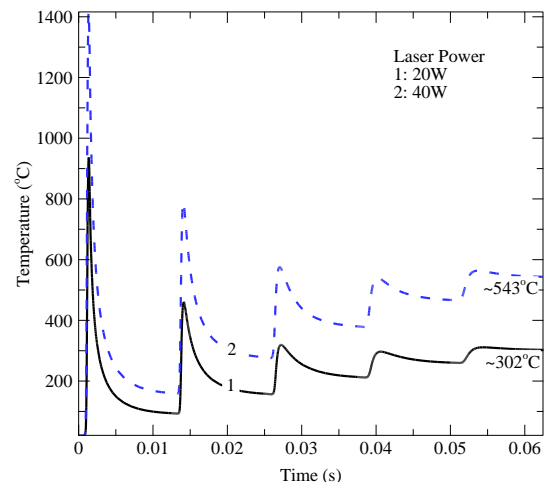


Fig. 8 Temperature history of a point located in the end of the laser scanning path during fabrication of 5 layers

شکل ۸ پیشنهاد مایلی نقطه‌ای واقع در انتهای مسیر حرکت لیزر پس از ساخت ۵ لایه روی آن

روند ساخت قطعه بدین صورت است که ابتدا با حرکت لیزر روی لایه پودر مرز قطعه ساخته می‌شود و سپس نواحی درون لایه پودر اسکن می‌شود. کانتورهای تغییر فاز جامد پودری به جامد چگال که از شبیه‌سازی فرآیند به روش ذوب انتخابی حاصل شده‌اند را می‌توان در شکل ۹ ملاحظه کرد. ابتدا لیزر با حرکت روی مرزهای قطعه آن نواحی را ذوب کرده و به هم متصل می‌کند؛ سپس اسکن نواحی داخلی به صورت مسیرهای عمودی رفت و برگشتی آغاز می‌شود.

در ادامه پاسخ مکانیکی لایه مورد نظر به بار حرارتی ناشی از لیزر برای دو شرط تکیه‌گاهی مختلف بررسی می‌شود: الف- حالتی که کف لایه به زمینه اتصال کامل دارد و ب- حالتی که مرزهای جانبی لایه دارای شرط مرزی ساده هستند. شماتیکی از شروط مرزی یادشده در شکل ۱۰ نشان داده شده است.

شکل ۱۱ اوجاچ لایه ساخته شده برای دو شرط مرزی نوع الف و ب را نشان می‌دهد. سطح فوقانی لایه ساخته شده در شرط مرزی نوع الف منقبض شده و بنابراین ابعاد آن نسبت به اندازه ایده‌آل کوچک‌تر به دست می‌آید،

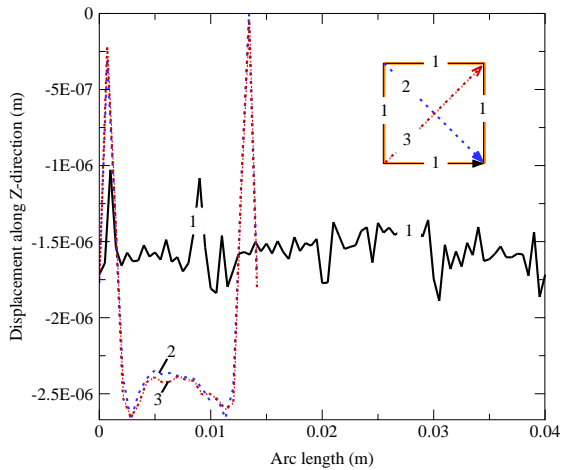


Fig. 12 تغییرات مؤلفه عمودی جابه‌جایی در راستای مسیرهای مختلف روی لایه در حالتی که وجه پایینی آن گیردار است.

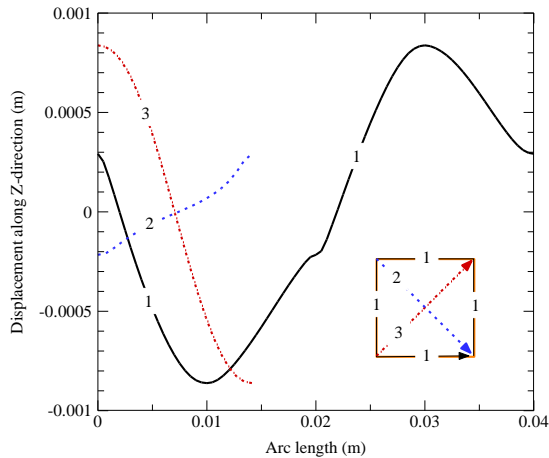


Fig. 13 تغییرات مؤلفه عمودی جابه‌جایی در راستای مسیرهای مختلف روی لایه در حالتی که در وجوه جانبی با تکیه‌گاه ساده مقید شده است.

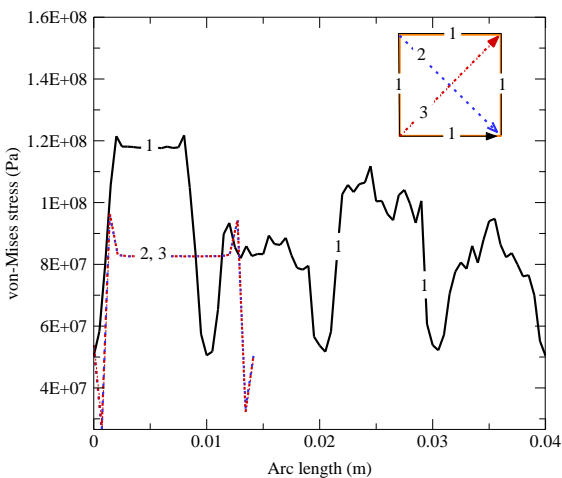


Fig. 14 تغییرات تنش ون‌مایسز در راستای مسیرهای مختلف روی لایه در حالتی که وجه پایینی آن گیردار است.

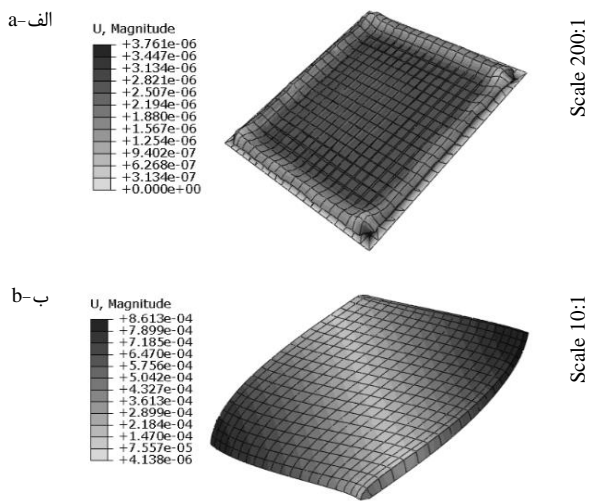


Fig. 11 اعوجاج لایه تحت شار حرارتی ناشی از لیزر برای دو شرط مرزی مختلف؛ حالت الف- سطح پایینی ورق گیردار است و حالت ب- سطوح جانبی ورق با تکیه‌گاه ساده مقید باشد.

شکل‌های 12 و 13 مؤلفه جابه‌جایی در راستای عمود بر صفحه برای مسیرهای مختلف روی قطعه را نشان می‌دهند. شکل 12 منحنی اعوجاج عمودی را برای تکیه‌گاه نوع الف نشان می‌دهد. نخستین نکته‌ای که از شکل 12 می‌توان دریافت کرد رخداد تغییرشکل‌هایی با علمت منفی است. به عبارتی ضخامت قطعه از مقدار ایده‌آل مورد نظر کمتر شده است. مقدار این تغییر ضخامت در نواحی مختلف قطعه متفاوت است؛ طوری که کاهش ضخامت برای نقاط داخل صفحه بیشتر از نقاط مرزی است که موجب می‌شود سطح ماقعری برای قطعه به دست آید. شکل 13 وضعیت اعوجاج قطعه در راستای عمود بر صفحه را برای تکیه‌گاه نوع ب نشان می‌دهد. با توجه به مسیر 1 پس از پایان ساخت قطعه نقاط مرزی وضعيت تغییر شکل یکسانی ندارند و یک رفتار موجی شکل را از خود به نمایش می‌گذارند. با مقایسه نقاط شروع و انتهای مسیرهای 2 و 3 یک رفتار پیچشی در قطعه مشاهده می‌شود؛ بنابراین در مورد قطعه با شرط مرزی نوع ب که از الگوی اسکن مطابق شکل 9 برای ساخت آن استفاده شده است، قطعه اصطلاحاً تاب برミ‌دارد.

شکل 14 و 15 توزیع تنش‌های پسماند را روی مسیرهای مختلف در قطعه به ترتیب برای شرط مرزی نوع الف و ب نمایش می‌دهد. همان طور که در شکل 14 ملاحظه می‌شود توزیع تنش برای نواحی داخلی قطعه (مسیرهای 2 و 3)، یک مقدار تقریباً ثابت را نشان می‌دهد. مرزهای قطعه با نوسانات تنش همراه هستند. این نوسانات به گونه‌ای است که توزیع تنش تقریباً متقارنی برای قطعه حاصل می‌شود، به عبارتی مرزهای راست و چپ و همچنین مرزهای بالا و پایین دارای تنش با شدت تقریباً یکسانی هستند.

در شکل 15 وضعیت توزیع تنش‌های پسماند روی مسیرهای مختلف، بیان‌گر این موضوع است که تنش‌ها نسبت به قطر اصلی (مسیر 2) یک رفتار تقریباً تقارنی را نشان می‌دهند. این نوع توزیع تنش که به دلیل شرط مرزی مستقله و نحوه اسکن لیزر حاصل شده سبب تاب برداشت قطعه می‌شود، با مقایسه شکل‌های 14 و 15 مشاهده می‌شود که تنش‌های بزرگ‌تری در قطعه به واسطه شرط مرزی نوع ب نسبت به نوع الف پدید می‌آید.

مسیرهای رفت و برگشتی عمودی انتخاب شده است. تغییر الگوی اسکن می‌تواند بر رفتار قطعه ساخته شده تأثیرگذار باشد.

- در این پژوهش برای تحلیل ترمومکانیکی قطعه از مدل نیمه‌کوبی حرارتی- مکانیکی استفاده شد. برای تک لایه مسئله ابتدا تحلیل حرارتی انجام شده و سپس تحلیل مکانیکی براساس داده‌های دمای گره‌ای برای دو شرط مرزی ۱- حالتی که سطح زیرین لایه گیردار باشد و ۲- سطوح جانبی لایه دارای تکیه‌گاه ساده باشند، انجام می‌شود.
- در حالتی که سطح زیرین قطعه گیردار است، اسکن لیزر مطابق مسیرهای عمودی رفت و برگشتی یک سطح مقعر را برای قطعه نتیجه می‌دهد. برای حالتی که سطوح جانبی قطعه با مزهای ساده مقید شده‌اند، مز قطعه به صورت موجی شکل اعوجاج پیدا می‌کند؛ به گونه‌ای که قطعه تاب برمی‌دارد.
- بررسی توزیع تنش روی مسیرهای مختلف در قطعه برای هر دو شرط مرزی نشان داد که تنش‌های بزرگ‌تری در قطعه در حالتی که سطوح جانبی با تکیه‌گاه ساده مقید شده‌اند نسبت به حالتی که سطح پایینی لایه گیردار است، اتفاق می‌افتد.

6- مراجع

- [1] I. Gibson, D. Rosen, B. Stucker, *Additive Manufacturing Technologies: 3D Printing, Rapid Prototyping, and Direct Digital Manufacturing*, pp. 1-146, New York: Springer, 2014.
- [2] D. Gu, *Laser Additive Manufacturing of High-Performance Materials*, pp. 15-73, Berlin Heidelberg: Springer, 2015.
- [3] E. Sachs, M. Cima, P. Williams, D. Brancazio, J. Cornie, Three dimensional printing: rapid tooling and prototypes directly from a CAD model, *Manufacturing Science and Engineering*, Vol. 114, No. 4, pp. 481-488, 1992.
- [4] A. Gebhardt, *Understanding Additive Manufacturing*, pp. 40-44, Munich: Hanser Publications, 2012.
- [5] K. Dai, L. Shaw, Distortion minimization of laser-processed components through control of laser scanning patterns, *Rapid Prototyping Journal*, Vol. 8, No. 5, pp. 270-276, 2002.
- [6] K. Dai, L. Shaw, Thermal and mechanical finite element modeling of laser forming from metal and ceramic powders, *Acta Materialia*, Vol. 52, No. 1, pp. 69-80, 2004.
- [7] R. B. Patil, V. Yadava, Finite element analysis of temperature distribution in single metallic powder layer during metal laser sintering, *Machine Tools and Manufacture*, Vol. 47, No. 7, pp. 1069-1080, 2007.
- [8] L. Dong, A. Makradi, S. Ahzi, Y. Remond, Three-dimensional transient finite element analysis of the selective laser sintering process, *Materials Processing Technology*, Vol. 209, No. 2, pp. 700-706, 2009.
- [9] I. Roberts, C. Wang, R. Esterlein, M. Stanford, D. Mynors, A three-dimensional finite element analysis of the temperature field during laser melting of metal powders in additive layer manufacturing, *Machine Tools and Manufacture*, Vol. 49, No. 12, pp. 916-923, 2009.
- [10] A. Hussein, L. Hao, C. Yan, R. Everson, Finite element simulation of the temperature and stress fields in single layers built without support in selective laser melting, *Materials & Design*, Vol. 52, pp. 638-647, 2013.
- [11] C. Fu, Y. Guo, 3-Dimensional Finite Element Modeling of Selective Laser Melting Ti-6Al-4V Alloy, *25th Annual International Solid Freeform Fabrication Symposium*, Austin, Texas, United States, America, August 2014.
- [12] S. A. Fatemi, J. Zamani Ashani, Experimental study on interaction of powder apparent density and heat transfer on the quality of parts made in selective laser melting, *Modares Mechanical Engineering*, Vol. 16, No. 12, pp. 153-162, 2016. (in Persian)
- [13] J.-P. Kruth, G. Levy, F. Klocke, T. Childs, Consolidation phenomena in laser and powder-bed based layered manufacturing, *CIRP Annals-Manufacturing Technology*, Vol. 56, No. 2, pp. 730-759, 2007.

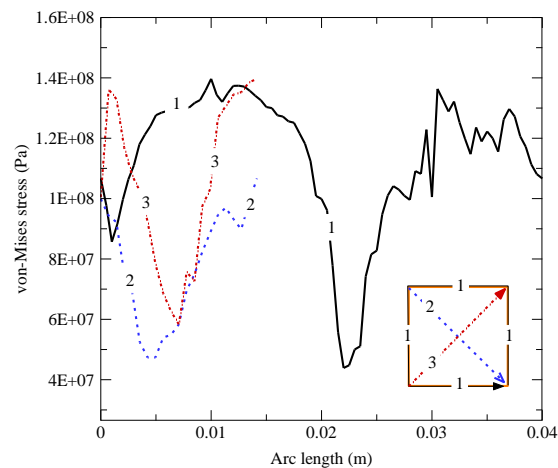


Fig. 15 تغییرات تنش ون‌مایس در راستای مسیرهای مختلف روی لایه در حالتی

که در وجود جانبی با تکیه‌گاه ساده مقید شده است.

5- نتیجه‌گیری

در این پژوهش مدل‌سازی حرارتی- مکانیکی فرآیند ذوب انتخابی با لیزر انجام می‌شود. از آن جایی که این فرآیند به دلیل رخداد تغییر فاز و ساخت از لایه از پیچیدگی‌های محاسباتی بخوردار است، سعی می‌شود با استفاده از ابزار اجزاء محدود معادلات حاکم بر رفتار آن حل شود. در بخش نتایج ابتدا روند شبیه‌سازی مسئله براساس داده‌های موجود در پژوهش‌های پیشین صحه‌گذاری می‌شود و سپس مسئله حرارتی- مکانیکی برای یک تک لایه مدل‌سازی می‌شود. در ادامه به مهم‌ترین نکات و نتایج این پژوهش اشاره می‌گردد:

الف- شبیه‌سازی حرارتی فرآیند ذوب انتخابی با لیزر برای ایجاد ۵ لایه روی زمینه انجام شد. برای فرآیند لایه‌نگاری از مفهوم تولد و مرگ المان استفاده شد و برای شبیه‌سازی شار متجرک لیزر و الگوریتم بروزرسانی خواص مادی از پودر به جامد توپر هنگام عبور لیزر قابلیت زیربرنامه‌نویسی نرم‌افزار آباکوس مورد توجه قرار گرفت.

ب- نتایج حرارتی نشان دادند که با افزایش توان لیزر از مقدار 20 وات به 40 و سپس 60 وات، بیشینه دمای گذرا در قطعه به ترتیب ۲ و ۳ برابر شدند؛ این در حالی است که عمق نفوذ حرارت به زمینه تغییر نکرده و از این‌رو با افزایش توان لیزر گرادیان‌های دمایی بیشتری در زیر لایه‌ها اتفاق می‌افتد.

ج- نتایج برای لایه پودر انتخاب شده با درصد تخلخل ۴۰ نشان دادند که میزان نفوذ حرارت در راستای عمق ۱.۵ برابر میزان نفوذ حرارت در عرض قطعه است و دلیل این امر را می‌توان به اختلاف در ضریب رسانش حرارتی در مسیر عمق (جامد چگال) نسبت به مسیر عرضی (جامد پودری) اشاره کرد.

د- بررسی بیشینه دمایی نقطه‌ای واقع بر زمینه در حین ساخت ۵ لایه توسط فرآیند ذوب انتخابی با لیزر نشان می‌دهد که نقطه مورد نظر تحت بارهای حرارتی سیکلی قرار خواهد گرفت. در حضور این بارهای حرارتی سیکلی پدید آمدن نقص حین ساخت و رخداد ترک اولیه می‌تواند سبب گسترش ترک در ماده شود.

ه- در ساخت قطعه در روش ذوب انتخابی با لیزر عموماً در ابتدا مز قطعه ساخته می‌شود و سپس نواحی داخلی آن با حرکت‌های رفت و برگشتی اسکن می‌شوند. در این پژوهش الگوی اسکن نواحی داخلی به صورت

- selected commercial alloys, pp. 205-217, Cambridge: Woodhead Publishing, 2002.
- [17] G. Welsch, R. Boyer, E. Collings, *Materials properties handbook: titanium alloys*, pp. 483-487, United States: ASM international, 1993.
- [14] I. Yadroitsev, A. Gusarov, I. Yadroitsava, I. Smurov, Single track formation in selective laser melting of metal powders, *Materials Processing Technology*, Vol. 210, No. 12, pp. 1624-1631, 2010.
- [15] A. Gusarov, E. Kovalev, Model of thermal conductivity in powder beds, *Physical Review B*, Vol. 80, No. 2, pp. 024202, 2009.
- [16] K. C. Mills, *Recommended values of thermophysical properties for*